

トヨタ技術

第1巻 第1號

昭和23年3月

目次

発刊の辞	梅原半二
論文・報告	
自動車にかゝる負荷に関する一考察 (自由落下の場合の負荷に関して)	長谷川龍雄 1 秋山一郎
横方向から力を受ける自動車の走行安定	入谷幸平 8
シリンダーボアの歪に就て	原田拓郎 11 山田史郎
資料	
自動車前照灯が具備すべき光度と自動車前照灯に関する参考資料	石原勇 17
型鍛造品設計への一考察	有馬宏成 21
SA型乗用車に就いて	内山田亀男 26
雑録	
BM型トラック仕様書	31
トヨタ自動車工業株式会社住所一覧	32
投稿規定	32

トヨタ自動車工業株式會社

トヨタ自動車工業株式会社 技術部長 工学博士 梅原半二

我々トヨタ技術者の宿願であつたトヨタ技術創刊号が世に出たのは昭和二十一年八月であつた。是に続き第二号第三号が順次発行せられる予定であつたのであるが、種々の支障により遺憾乍ら続行不可能となり中絶のまま一年半を経過してつた。當時は設計研究方面よりは木曜会、現場方面よりは七日会が夫々積極的に参加して発行に任じたのであるが、両団体は昨年九月合流し、トヨタ技術会として発足を見、研究発表会討論会講座等と廣般な活動を開始するに至つた。ここに是等の活動を記録し、研究実験の成果を報告発表するトヨタ技術復刊の要望が昂まり、今や再刊第一号を世に送る運びとなつたのである。

願うに自動車工業は敗戦日本に残された随一の綜合重工業であつて、是の育成にこそ日本の最高技術が傾注せられねばならない事は論を俟たない所である。然るに我が自動車工業は何分にも創業以來日尚浅く此処に働く技術者も亦年若く、終戦以來頗る充実を加えてその成果は高性能BMトラックとなり優秀トヨベツト車となつて各界の期待に副い得たとは言え、是を先進工業國のそれと比較するならば尙多くの点で今後の努力に俟たねばならない事を知るであろう。しかも我が國の技術界は第二次大戦以來世界的の文化交流の圏外に置かれ原子時代にまで到達したその空氣には未だ触れ得ないのである。我々の行手には幾多の困難があるであろうが、幸いトヨタ技術会を中心とする技術者の積極的な研鑽は將來必ず見るべき成果を挙げ得るものと期待する。

創刊号は社内だけの配布にとどめたが、再刊に當つては之を廣く社外の自動車関係者にも配布し、共に我が自動車工業の發展のため進みたいものと考えている。我々はおもつて社の一員として、營利の追求に関與している事を否定するものではないけれども、此の雑誌に発表せられる限りの内容は嚴に我が國技術の進歩のために我々の良心を以て貫かれたものであり、この種の雑誌に有り勝ちな宣傳的粉飾は全く意図せられて居ない事を誇りたいと思う。読者諸氏に於かれても我々の意のある所を諒とせられ積極的な御批判を賜わらん事を願うものである。

本号の内容には尙幼稚な点も少なくなく、体裁に就ても満足とは言い得ないのであるが、將來はSAE Journal や ATZ の如き権威ある雑誌にしたいものである。そして聊かでも本誌が我が社の技術向上に資し我が國自動車工業の發展に資し得るならば幸甚である。

— 論 文 · 報 告 —

自動車にかゝる負荷に関する一考察
(自由落下の場合の負荷に関して)

設計課 長谷川龍雄
秋山一郎

- I. 緒言
- II. 初期條件の決定
- III. 接地後の運動
- IV. 実験結果及びそれに対する検討
- V. 結語

I 緒言

自動車の構造部分を合理的に設計する爲には、外的負荷條件を正確に算定し、それに対して必要にして、充分なる如き部材の寸法を決定すべきである。併し乍ら從來の状況は必ずしもこう云つた方向に考えが向けられて居らず、靜的荷重に非常に大きな安全率を乗じたものを以て、設計條件とよて來た。例え之れに依つて、經驗的には使用條件に耐えて來たにしても、必ずや強度に不釣合が生じ、合理的とは云い得ない。従つて航空機の設計に於けるが如く、自動車に於ても走行中に起さる實際の動的負荷を決定して設計條件とする必要がある。

自動車に負荷のかゝる外的條件としては、地上障害物に衝突する場合、自由落下場合とが最も重大であり、垂直方向の負荷としては先づ大抵の場合上記二つの場合で決定される。而して自由落下現象の原因としては平坦な路面より凹地に落下する場合と、障害物に乗上げてより降下する場合とが考へられるが、理論的取扱ひとしては、凹地に落下する場合に依つて代表し得るものとして理論計算及び実験を行う事に依つて、自動車設計に際して負荷を決定すべき設計図表を作成する事を試みた。

本論は自動車にかゝる負荷決定に対する困難且つ複雑な理論の一部に過ぎず、障害物衝突場合に対する理論も一應は結論を得ているが速報の意味で取敢発表する次第である。

II. 初期條件の決定

自動車が自由落下する場合、その重心に関しては質点と見做して差支なく、重力に依る加速度 $g \text{ m/s}^2$ にて落下する。併し乍ら「バネ」上及び下重量は必ずしも $g \text{ m/s}^2$ にて落下する訳では無い。何となれば外力として重力以外に「バネ」に依る垂直方向の力が作用するからである。従つて車の接地瞬間の初期條件を求める爲には逆にさかのぼつて自由落下中の運動自身より検討して行かねばならない。記号を次の如く選ぶ。

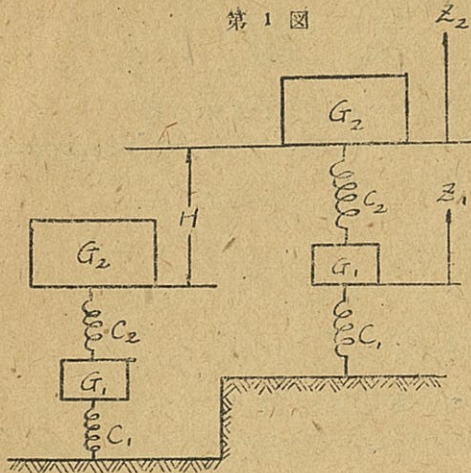
- G_1 : 「バネ」下重量、車輪一個当り (kg)
- G_2 : 「バネ」上重量、車輪一個当り (kg)
- C_1 : 「タイヤ」の「バネ」係数 (kg/m)
- C_2 : 「スプリング」の「バネ」係数 (kg/m)
- s_1 : 車軸の垂直方向座標、上方を正とし荷重零の時を原点とす (m)
- s_2 : 車体の垂直方向座標、上方を正とし荷重零の時を原点とす (m)
- H : G_2 の自由落下高度 (第1図参照のこさ) (m)
- h : 凹地の深さ (m)
- t : 時間 (s)
- g : 重力に依る加速度 (m/s^2)
- $L_1 = G_1/C_1g$, $L_2 = G_2/C_2g$

$$K = \sqrt{\frac{2H}{L_2g} \cdot \frac{1+G_1/G_2}{G_1/G_2}}$$

自由落下中の運動方程式は第1図に依り、次の如くなる。

$$\left\{ \begin{array}{l} \frac{G_2}{g} \cdot \frac{d^2 s_2}{dt^2} = -(s_2 - s_1)C_2 - G_2 \quad (1) \\ \frac{G_1}{g} \cdot \frac{d^2 s_1}{dt^2} = (s_2 - s_1)C_2 - G_1 \quad (2) \end{array} \right.$$

第1図



(1) - (2) より

$$\frac{d^2}{dt^2}(z_2 - z_1) = -C_2 g \left(\frac{1}{G_1} + \frac{1}{G_2} \right) (z_2 - z_1)$$

$$z_2 - z_1 = A \sin nt + B \cos nt$$

ここに

$$n^2 = \frac{C_2 g}{G_2} \left(1 + \frac{1}{G_1/G_2} \right) \quad (3)$$

而して初期条件として $t=0$ に於て、

$$z_2 - z_1 = -G_2/C_2, \quad \frac{d}{dt}(z_2 - z_1) = 0 \quad \text{より}$$

$$z_2 - z_1 = -G_2/C_2 \cdot \cos nt \\ = -L_2 g \cdot \cos nt \quad (4)$$

然る時は (1) より

$$z_2 = -g \left(\frac{1}{2} t^2 + \frac{1}{n^2} \cos nt \right) + C$$

初期条件として、 $t=0$ に於て

$$z_2 = -(G_1 + G_2)/C_1 - G_2/C_2 \quad \text{なる故}$$

$$C = -\frac{G_2}{C_2} \left\{ \left(1 + \frac{G_1}{G_2} \right) \cdot \frac{C_2}{C_1} + \frac{1}{1 + G_1/G_2} \right\}$$

$$\therefore z_2 = -g \left[\frac{1}{2} t^2 + \frac{G_1/G_2}{1 + G_1/G_2} \cdot L_2 \cos nt \right. \\ \left. + L_2 \left\{ \left(1 + \frac{G_1}{G_2} \right) \cdot \frac{C_2}{C_1} + \frac{1}{1 + G_1/G_2} \right\} \right] \quad (5)$$

(2) より

$$z_1 = -g \left(\frac{1}{2} t^2 - \frac{G_2}{G_1} \cdot \frac{1}{n^2} \cdot \cos nt \right) + C'$$

初期条件として $t=0$ に於て $z_1 = -(G_1 + G_2)/C_1$ なる故

$$C' = -L_2 g \left\{ \left(1 + \frac{G_1}{G_2} \right) \cdot \frac{C_2}{C_1} + \frac{1}{1 + G_1/G_2} \right\}$$

$$\therefore z_1 = -g \left[\frac{1}{2} t^2 - \frac{L_2}{1 + G_1/G_2} \cdot \cos nt \right. \\ \left. + L_2 \cdot \left\{ \left(1 + \frac{G_1}{G_2} \right) \cdot \frac{C_2}{C_1} + \frac{1}{1 + G_1/G_2} \right\} \right] \quad (6)$$

自動車自由落下を始めてより、「タイヤ」が凹地面に初めて接する瞬間迄の経過時間を t_0 とするこ、

(5)式より次式を得。但し自由落下中は「タイヤ」は荷重零にして従つて最伸長の状態にあるものとす、

$$-H - \frac{G_1 + G_2}{C_1} - \frac{G_2}{C_2} = -\frac{1}{2} g t_0^2 - \frac{G_1/G_2}{1 + G_1/G_2}$$

$$\cdot L_2 g \cos nt_0 - \frac{G_1 + G_2}{C_1} - \frac{G_2}{C_2} + \frac{G_1/G_2}{1 + G_1/G_2} \cdot L_2 g$$

$$\therefore H = \frac{1}{2} g t_0^2 + \frac{G_1/G_2}{1 + G_1/G_2} L_2 g (\cos nt_0 - 1)$$

一般の車輛に対しては

$$G_1/G_2 \cdot L_2 g = G_1/G_2 \cdot G_2/C_2 = 0.01 \sim 0.03 \ll 1$$

にして、且つ t_0 に対しては右辺の二項は同じ order なる故、結局上式の第二項は第一項に対して省略し得る。

$$\therefore t_0 = \sqrt{\frac{2H}{g}} \quad (7)$$

故に接地瞬間に於ける G_2, G_1 の速度及び「スプリング」の撓み量は次式に依つて與えられる。

$$z_{20} = -\sqrt{2gH} + g \cdot \sqrt{\frac{G_1/G_2}{1 + G_1/G_2}} L_2 \\ \cdot \sin \sqrt{\frac{2H}{L_2 g} \cdot \frac{1 + G_1/G_2}{G_1/G_2}} \quad (8)$$

$$z_{10} = -\sqrt{2gH} - g \sqrt{\frac{G_2/G_1}{1 + G_1/G_2}} \cdot L_2 \\ \cdot \sin \sqrt{\frac{2H}{L_2 g} \cdot \frac{1 + G_1/G_2}{G_1/G_2}} \quad (9)$$

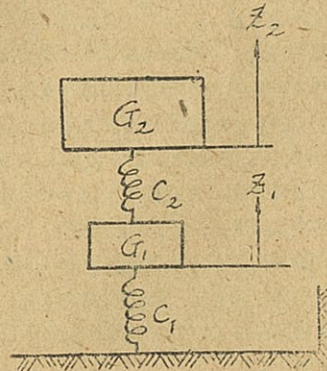
$$z_{20} - z_{10} = -L_2 g \cdot \cos \sqrt{\frac{2H}{L_2 g} \cdot \frac{1 + G_1/G_2}{G_1/G_2}} \quad (10)$$

(8), (9) 式の第一項が単純なる計算に依る接地速度にして、之れに第二項が補正項として導入される譯である。之等の三式が接地後の運動を求める際の初期条件となる。

III. 接地後の運動

接地後の運動に対しては座標の原点を別個に考へ、「タイヤ」が最初に接地し、且つ「タイヤ」及び「スプリング」に荷重のかゝつて居ない場合の G_2, G_1 の座標を夫々 Z_1, Z_2 の原点とし、上方を正とす。運動方程式は次の如くなる。(第2図)

第2図



$$\left\{ \begin{aligned} \frac{G_2}{g} \cdot \frac{d^2 z_2}{dt^2} &= -(z_2 - z_1) C_2 - G_2 \quad (11) \\ \frac{G_1}{g} \cdot \frac{d^2 z_1}{dt^2} &= (z_2 - z_1) C_2 - z_1 C_1 - G_1 \quad (12) \end{aligned} \right.$$

(11), (12) より

$$L_1 L_2 \ddot{z}_2 + \{L_1 + L_2(1 + C_2/C_1)\} \ddot{z}_2 + z_2 \\ = -\{L_1 + L_2(1 + C_2/C_1)\} g \quad (13)$$

(13) の右辺を零とおいた式の一般解を

$$z_2 = \sum c e^{i\omega t} \quad \text{とおく}$$

$$L_1 L_2 \omega^4 + \{L_1 + L_2(1 + C_2/C_1)\} \omega^2 + 1 = 0$$

$$\omega^2 = \frac{1}{2L_1 L_2} \left[-\{L_1 + L_2(1 + C_2/C_1)\} \right. \\ \left. \pm \sqrt{\{L_1 + L_2(1 + C_2/C_1)\}^2 - 4L_1 L_2} \right]$$

之の二根を夫々

$$\omega^2 = -p^2, \quad -q^2$$

と置く (13) は次の如くなる。

$$z_2 = A_1 \sin pt + A_2 \cos pt + B_1 \sin qt + B_2 \cos qt \\ - \{L_1 + L_2(1 + C_2/C_1)\} g \quad (14)$$

$$z_2 = A_1 \cos pt - A_2 \sin pt + B_1 q \cos qt - B_2 q \sin qt$$

初期条件として $t=0$ に於て (8), (10) に依つて

$$\left\{ \begin{aligned} A_2 + B_2 &= \{L_1 + L_2(1 + C_2/C_1) \\ &\quad - \cos \sqrt{\frac{2H}{L_2 g} \cdot \frac{1 + G_1/G_2}{G_1/G_2}}\} g \quad (15) \end{aligned} \right.$$

$$\left\{ \begin{aligned} A_1 p + B_1 q &= -\sqrt{2gH} + g \sqrt{\frac{G_1/G_2}{1 + G_1/G_2}} L_2 \\ &\quad \cdot \sin \sqrt{\frac{2H}{L_2 g} \cdot \frac{1 + G_1/G_2}{G_1/G_2}} \quad (16) \end{aligned} \right.$$

(11) に (14) を代入して

$$z_1 = A_1(1 - L_2 p^2) \sin pt + A_2(1 - L_2 p^2) \cos pt \\ + B_1(1 - L_2 q^2) \sin qt + B_2(1 - L_2 q^2) \cos qt \\ - (L_1 + L_2 \cdot C_2/C_1) g \quad (17)$$

初期条件として $t=0$ に於て $z_1=0$ 及び

(9) を用いると

$$\left\{ \begin{aligned} A_2(1 - L_2 p^2) + B_2(1 - L_2 q^2) &= (L_1 + L_2 \cdot C_2/C_1) g \quad (18) \\ A_1 p(1 - L_2 p^2) + B_1 q(1 - L_2 q^2) &= -\sqrt{2gH} \end{aligned} \right.$$

$$-g \sqrt{\frac{L_2}{(1 + G_1/G_2) G_1/G_2}} \cdot \sin \sqrt{\frac{2H}{L_2 g} \cdot \frac{1 + G_1/G_2}{G_1/G_2}} \quad (19)$$

(15), (16), (17), (18) より A_1, A_2, B_1, B_2 を C 次式を得。

$$\left\{ \begin{aligned} A_2(q^2 - p^2) &= \left\{ \left\{ L_1 + L_2 \left(1 + \frac{C_2}{C_1} \right) \right. \right. \\ &\quad \left. \left. - \cos \sqrt{\frac{2H}{L_2 g} \cdot \frac{1 + G_1/G_2}{G_1/G_2}} \right\} q^2 \right. \\ &\quad \left. - \left(1 - \cos \sqrt{\frac{2H}{L_2 g} \cdot \frac{1 + G_1/G_2}{G_1/G_2}} \right) g \right\} \\ B_2(q^2 - p^2) &= -\left\{ \left\{ L_1 + L_2 \left(1 + \frac{C_2}{C_1} \right) \right. \right. \\ &\quad \left. \left. - \cos \sqrt{\frac{2H}{L_2 g} \cdot \frac{1 + G_1/G_2}{G_1/G_2}} \right\} p^2 \right. \\ &\quad \left. - \left(1 - \cos \sqrt{\frac{2H}{L_2 g} \cdot \frac{1 + G_1/G_2}{G_1/G_2}} \right) g \right\} \end{aligned} \right. \quad (20)$$

$$\left\{ \begin{aligned} A_1 p(q^2 - p^2) &= -\left\{ \left\{ \sqrt{\frac{2H}{g}} - \sqrt{\frac{G_1/G_2}{1 + G_1/G_2}} L_2 \right. \right. \\ &\quad \left. \left. \cdot \sin \sqrt{\frac{2H}{L_2 g} \cdot \frac{1 + G_1/G_2}{G_1/G_2}} \right\} q^2 \right. \\ &\quad \left. + \sqrt{\frac{1 + G_1/G_2}{G_1/G_2}} L_2 \cdot \sin \sqrt{\frac{2H}{L_2 g} \cdot \frac{1 + G_1/G_2}{G_1/G_2}} \right\} g \\ B_1 q(q^2 - p^2) &= \left\{ \left\{ \sqrt{\frac{2H}{g}} - \sqrt{\frac{G_1/G_2}{1 + G_1/G_2}} L_2 \right. \right. \\ &\quad \left. \left. \cdot \sin \sqrt{\frac{2H}{L_2 g} \cdot \frac{1 + G_1/G_2}{G_1/G_2}} \right\} p^2 \right. \\ &\quad \left. - \sqrt{\frac{1 + G_1/G_2}{G_1/G_2}} L_2 \cdot \sin \sqrt{\frac{2H}{L_2 g} \cdot \frac{1 + G_1/G_2}{G_1/G_2}} \right\} g \end{aligned} \right. \quad (21)$$

(20), (21) に依つて z_1, z_2 の未知の係数が得られ従つてその運動が求められる。併し乍ら上式はやゝ複雑にして数値計算には不適當である。故に少しく省略を試みて見よう。普通の車輛に於ては $L_1/L_2 = C_2/C_1 \cdot G_1/G_2$ は 10^{-2} の order にして L_1 は L_2 に比して省略し得る程度のものである。然る時は (13) の解としては

$$P^2 = \frac{1}{2L_1 L_2} \left\{ \left\{ L_1 + L_2 \left(1 + \frac{C_2}{C_1} \right) \right\} \right. \\ \left. - \left\{ L_1 + L_2 \left(1 + \frac{C_2}{C_1} \right) \right\} + \frac{2L_1 L_2}{L_1 + L_2(1 + C_2/C_1)} \right\} \\ = \frac{1}{L_2(1 + C_2/C_1)} \quad (22)$$

$$q^2 = \frac{1}{2L_1 L_2} \left[2 \left\{ L_1 + L_2 \left(1 + \frac{C_2}{C_1} \right) \right\} \right. \\ \left. - \frac{2L_1 L_2}{L_1 + L_2(1 + C_2/C_1)} \right] \\ = P^2 \left\{ \left(1 + \frac{C_2}{C_1} \right)^2 \cdot \frac{L_2}{L_1} - 1 \right\} \gg P^2 \quad (23)$$

$$\therefore \left\{ \begin{aligned} A_1 &= -\sqrt{L_2 \left(1 + \frac{C_2}{C_1} \right)} \cdot \left\{ \sqrt{\frac{2H}{g}} - \sqrt{\frac{G_1/G_2}{1 + G_1/G_2}} L_2 \right. \\ &\quad \left. \cdot \sin \sqrt{\frac{2H}{L_2 g} \cdot \frac{1 + G_1/G_2}{G_1/G_2}} \right\} g \\ A_2 &= \left(1 + \frac{C_2}{C_1} - \cos \sqrt{\frac{2H}{L_2 g} \cdot \frac{1 + G_1/G_2}{G_1/G_2}} \right) L_2 g \end{aligned} \right.$$

$$B_1 q^2 = \left\{ \frac{1}{L_2(1+C_2/C_1)} \left(\sqrt{\frac{2H}{g}} - \sqrt{\frac{G_1/G_2}{1+G_1/G_2}} \cdot L_2 \right) \cdot \sin \sqrt{\frac{2H}{L_2 g} \cdot \frac{1+G_1/G_2}{G_1/G_2}} - \sqrt{\frac{1+G_1/G_2}{G_1/G_2}} L_2 \cdot \sin \sqrt{\frac{2H}{L_2 g} \cdot \frac{1+G_1/G_2}{G_1/G_2}} \right\} g$$

$$B_2 q^2 = - \left\{ \frac{1}{1+C_2/C_1} \left(1 + \frac{C_2}{C_1} - \cos \sqrt{\frac{2H}{L_2 g} \cdot \frac{1+G_1/G_2}{G_1/G_2}} \right) - \left(1 - \cos \sqrt{\frac{2H}{L_2 g} \cdot \frac{1+G_1/G_2}{G_1/G_2}} \right) \right\} q \quad (24)$$

(24) を (17) に代入して整理すると、

$$z_1 = \frac{C_2/C_1}{1+C_2/C_1} \cdot L_2 g \left[- \sqrt{\frac{1+C_2/C_1}{L_2}} \sqrt{\frac{2H}{g}} \right. \\ \left. - \sqrt{\frac{G_1/G_2}{1+G_1/G_2}} L_2 \cdot \sin \sqrt{\frac{2H}{L_2 g} \cdot \frac{1+G_1/G_2}{G_1/G_2}} \right] \sin pt \\ + \left(1 + \frac{C_2}{C_1} - \cos \sqrt{\frac{2H}{L_2 g} \cdot \frac{1+G_1/G_2}{G_1/G_2}} \right) \cdot \cos pt \\ - \sqrt{\frac{L_1}{1+C_2/C_1}} \cdot \left\{ \frac{1}{L_2 \cdot C_2/C_1} \left(\sqrt{\frac{2H}{g}} - \sqrt{\frac{G_1/G_2}{1+G_1/G_2}} \cdot L_2 \right) \right. \\ \left. \sin \sqrt{\frac{2H}{L_2 g} \cdot \frac{1+G_1/G_2}{G_1/G_2}} - \frac{1+C_2/C_1}{C_2/C_1} \sqrt{\frac{1+G_1/G_2}{G_1/G_2}} \cdot \frac{1}{L_2} \right. \\ \left. \cdot \sin \sqrt{\frac{2H}{L_2 g} \cdot \frac{1+G_1/G_2}{G_1/G_2}} \right\} \sin qt \\ + \cos \sqrt{\frac{2H}{L_2 g} \cdot \frac{1+G_1/G_2}{G_1/G_2}} \cdot \cos qt - \left(1 + \frac{C_2}{C_1} \right) \quad (25)$$

同様にして (14) に代入すると

$$z_2 = - \sqrt{L_2(1+C_2/C_1)} \cdot \left(\sqrt{\frac{2H}{g}} - \sqrt{\frac{G_1/G_2}{1+G_1/G_2}} \cdot L_2 \right) \cdot \sin \sqrt{\frac{2H}{L_2 g} \cdot \frac{1+G_1/G_2}{G_1/G_2}} \\ + \left(1 + \frac{C_2}{C_1} - \cos \sqrt{\frac{2H}{L_2 g} \cdot \frac{1+G_1/G_2}{G_1/G_2}} \right) L_2 g \cos pt \\ - (1+C_2/C_1) \cdot L_2 g \quad (26)$$

斯くして得られた Z_1, Z_2 は省略を行つて得られたにも拘わらず II に於て求められた初期条件を満足している事を知る。(25) (26) より

$$\therefore F_{max} = G_2 \left[1 + \sqrt{\frac{1}{1+C_2/C_1} \cdot \frac{G_1/G_2}{1+G_1/G_2} \cdot (K - \sin K)^2 + \left(\frac{\cos K}{1+C_2/C_1} - 1 \right)^2} \right. \\ \left. + \sqrt{\frac{C_2/C_1}{1+C_2/C_1}} \left\{ \frac{1}{1+C_2/C_1} \cdot \frac{G_1/G_2}{\sqrt{1+G_1/G_2}} \cdot (K - \sin K) - \sqrt{1+G_1/G_2} \cdot \sin K \right\}^2 \right. \\ \left. + \frac{C_2/C_1}{1+C_2/C_1} \cdot \cos^2 K \right]$$

$$z_1 - z_2 = \sqrt{\frac{L_2}{1+C_2/C_1}} \left(\sqrt{\frac{2H}{g}} - \sqrt{\frac{G_1/G_2}{1+G_1/G_2}} \cdot L_2 \right) \cdot \sin \sqrt{\frac{2H}{L_2 g} \cdot \frac{1+G_1/G_2}{G_1/G_2}} \cdot g \cdot \sin pt \\ + \left(\frac{1}{1+C_2/C_1} \cos \sqrt{\frac{2H}{L_2 g} \cdot \frac{1+G_1/G_2}{G_1/G_2}} - 1 \right) L_2 g \cdot \cos pt \\ - \sqrt{\frac{L_1}{1+C_2/C_1}} \left\{ \frac{1}{L_2(1+C_2/C_1)} \left(\sqrt{\frac{2H}{g}} - \sqrt{\frac{G_1/G_2}{1+G_1/G_2}} \cdot L_2 \right) \cdot \sin \sqrt{\frac{2H}{L_2 g} \cdot \frac{1+G_1/G_2}{G_1/G_2}} \right. \\ \left. - \sqrt{\frac{1+G_1/G_2}{G_1/G_2}} \cdot L_2 \cdot \sin \sqrt{\frac{2H}{L_2 g} \cdot \frac{1+G_1/G_2}{G_1/G_2}} \right\} L_2 g \cdot \sin qt \\ + \frac{C_2/C_1}{1+C_2/C_1} \cdot L_2 g \cos \sqrt{\frac{2H}{L_2 g} \cdot \frac{1+G_1/G_2}{G_1/G_2}} \cdot \cos qt + L_2 g \quad (27)$$

$$\text{今 } \sqrt{\frac{2H}{L_2 g} \cdot \frac{1+G_1/G_2}{G_1/G_2}} = K \quad (28)$$

とおくと

$$C_2(z_1 - z_2) = G_2 \left[1 + \sqrt{\frac{G_1/G_2}{(1+G_1/G_2)(1+C_2/C_1)}} \cdot (K - \sin K) \cdot \sin pt \right. \\ \left. + \left(\frac{1}{1+C_2/C_1} \cos K - 1 \right) \times \cos pt \right. \\ \left. - \sqrt{\frac{L_1}{1+C_2/C_1}} \left\{ \frac{1}{1+C_2/C_1} \right. \right. \\ \left. \left. \cdot \sqrt{\frac{G_1/G_2}{L_2(1+G_1/G_2)}} (K - \sin K) \right. \right. \\ \left. \left. - \sqrt{\frac{1+G_1/G_2}{G_1/G_2}} \cdot \frac{1}{L_2} \cdot \sin K \right\} \right. \\ \left. + \frac{C_2/C_1}{1+C_2/C_1} \cdot \cos K \cdot \cos qt \right] \times \sin qt \quad (29)$$

上式は車体にかかる負荷を表す。之は異なる長週期振動と異なる短週期振動の合成されたものである。従つて負荷の最大値を求むる爲には両振動の各々に依る負荷の絶対値を加へ合せたものと見做して先づ差支えない。

$$= G_2 \left[1 + \sqrt{\frac{1}{1+C_2/C_1} \cdot \frac{G_1/G_2}{1+G_1/G_2} \cdot (K - \sin K)^2 + \left(\frac{\cos K}{1+C_2/C_1} - 1 \right)^2} \right. \\ \left. + \sqrt{\frac{C_2/C_1}{1+C_2/C_1}} \left\{ \frac{1}{1+C_2/C_1} \cdot \frac{G_1/G_2}{\sqrt{1+G_1/G_2}} \cdot (K - \sin K) - \sqrt{1+G_1/G_2} \cdot \sin K \right\}^2 \right. \\ \left. + \frac{C_2/C_1}{1+C_2/C_1} \cdot \cos^2 K \right] \quad (30)$$

となり之に達する迄の時間は

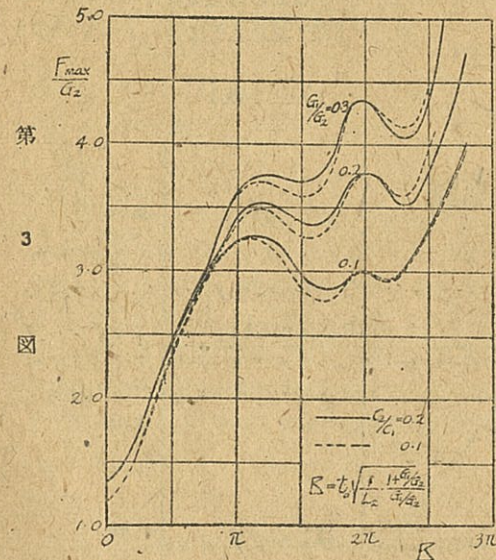
$$\tan pt = \frac{(K - \sin K) \sqrt{\frac{1}{1+C_2/C_1} \cdot \frac{G_1/G_2}{1+G_1/G_2}}}{\frac{1}{1+C_2/C_1} \cos K - 1}$$

$$t = \sqrt{L_2(1+C_2/C_1)} \left\{ \frac{\pi}{2} + \tan^{-1} \frac{1 - \frac{1}{1+C_2/C_1} \cos K}{(K - \sin K) \sqrt{\frac{1}{1+C_2/C_1} \cdot \frac{G_1/G_2}{1+G_1/G_2}}} \right\} \quad (31)$$

(30) が自由落下に際して自動車にかかる負荷を興える式であつて、之の値は当然予想される如く $C_2/C_1, G_1/G_2$ 、及び自由落下高度に關係ある K の三つの函数である。横軸 K に対して F_{max}/G_2 を表したものを第3図に示す。 K は書換へると

$$K = t_0 \sqrt{\frac{1+G_1/G_2}{G_1/G_2} \cdot \frac{1}{L_2}}$$

となり自由落下時間 t_0 に比例する故第3図より、 t_0 と F_{max}/G_2 の關係が得られる。併し乍ら眞の凹地



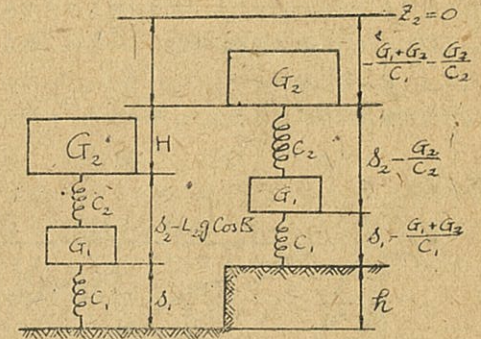
の深さと F_{max}/G_2 の關係を知る事が我々にまつては望ましい。「タイヤ」及び「スプリング」の荷重 0 の時の自由長を夫々 s_1, s_2 とする第4図の關係より

$$H + s_1 + s_2 - \frac{G_2}{C_2} \cos K = h + s_1 + s_2 - \frac{G_2}{C_2} - \frac{G_1 + G_2}{C_1}$$

$$\therefore h \cdot \frac{C_2}{G_2} = \frac{1}{2} \cdot \frac{G_1/G_2}{1+G_1/G_2} K^2 - \cos K + 1 \\ + \frac{C_2}{C_1} \left(1 + \frac{G_1}{G_2} \right) \quad (32)$$

(32) に依り h と K の關係、言換へると h と t_0

第4図

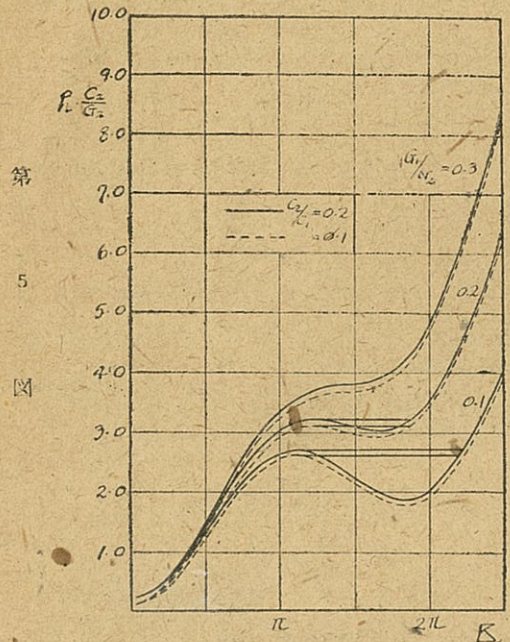


この關係を得。上式に於て $K=0$ の時、即ち $t_0=0$ の時に

$$h = \frac{G_2}{C_1} \left(1 + \frac{G_1}{G_2} \right) \neq 0$$

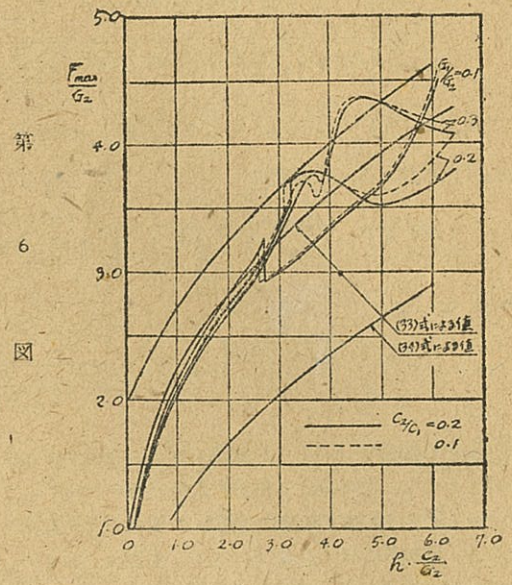
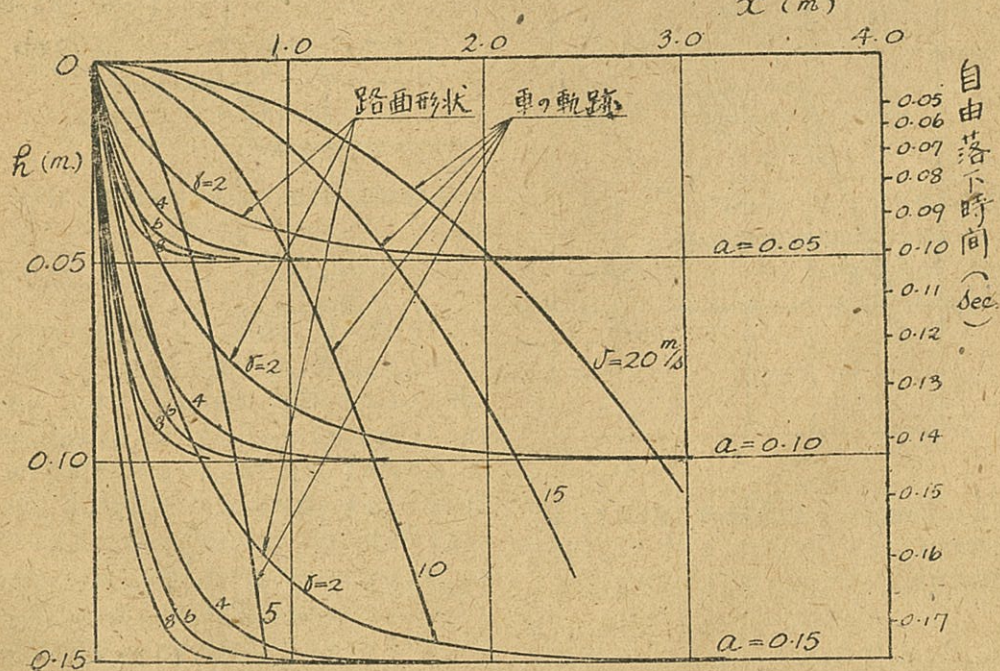
となり之は明らかに不合理である。併し之は如何なる t_0 に対しても凹地に接した瞬間に於ては C_1 が伸長の状態にあると云ふ仮定に起因するものであり、云換へれば $h = G_2/C_1 \cdot (1+G_1/G_2)$ なる深さの凹地迄は瞬間的に落下すると云う條件となる。併し之の誤差は落下高の極めて小さい範囲に於てのみ問題となり、設計上問題となる近傍では影響は僅少なるものと見做して良い。さて (32) の關係を第5図に示す。第3,5図より F_{max}/G_2 と h の關係が得られる。之を第6図に示す。之が我々の求むる設計図表である。即ち実験の他に依つて實際設計上問題となる落下高 h が分り、車

輛の特性 $C_2/C_1, G_1/G_2$ が決定されて居れば上図よ



り負荷倍率が得られる訳である。本図を見るに、小さい範囲では負荷倍率は単調に増加しているが、ある程度以上になると振動的となり、 $G_1/G_2, C_2/C_1$ に依る変化の傾向は簡単に云えない。唯、 h の小さい範囲

第 7 図



に於ては G_1/G_2 が大きくなると負荷倍率が減少する事は明瞭である。なほ同図には古典的な式⁽¹⁾

$$\frac{F_{max}}{G_2} = \sqrt{1.4 \times h \frac{C_0}{G_2}} \quad (33)$$

但し C_0 は車の懸架装置を一つの「スプリング」系と見做した場合の「バネ」係数

第 6 図

に依る値を示して置いた。これは理論的根拠が薄弱であるのみならず、設計上極めて危険な事に注意しなければならない。

なほ実用の範囲内に於ては $G_1/G_2, C_2/C_1$ の影響は殆んどなく、次の様な実験式を使用する事が出来る。

$$\frac{F_{max}}{G_2} = 1 + 1.3 \sqrt{h \frac{C_2}{G_2}} \quad (34)$$

以上の計算に於ては自由落下高度 h が與えられると車速には無関係に負荷倍率が求められた。併し我々は速度の効果に対して今少く検討して見たい。即ち自由落下が実際に起る凹地の形状についてあるが、若しその形状が第 1 図に示す様な矩形型の凹地ならば成程自由落下高度は速度に関係しない。従つて速度の負荷倍率への影響はその水平負荷分力を通じてのみであつて間接的である。併し乍ら実際の路面の形状は波打つて居り速度の増大に依つて自由落下高のものが変化ある事が考えられ、之は直接的である。本来ならば路面の形状そのものを運動方程式に導入するのが本當であるが、斯かる方法は計算が複雑となるのみならず、自由落下場合に於ては障害物衝突場合程自由落下高そのものが直接的には負荷現象に効いて来ない故、別個に考察する方が有利である。

さて路面形状の統計的資料の不明な現状に於ては不取敢次式の様な路面形状を仮定して見る。

$$y = -a(1 - e^{-T^2}) \quad (35)$$

又車の「タイヤ」最下点の空間に於ける落下中の軌跡は次式の如くなる。

$$y = -\frac{1}{2} \frac{g}{v^2} x^2 \quad (36)$$

但し v : 車の水平進行速度 (m/s)

之等の関係を第 7 図に示す。之に依つても速度に依つて自由落下高の変化の傾向を知る事が出来る。従つて速度の負荷倍率に及ぼす影響を知る爲には先ず路面の形状を知る事が必要である。或いは逆に実験に依つて各速度に於ける負荷倍率が求まれば逆算に依つて路面の形状が求まる筈である。自動車の強度計算の条件としては最高速度をとるべきである事は先ず問題はあるまい。

Ⅲ. 実験結果及びそれに対する検討

上記の如く実験に依る路面形状決定、若しくは直接負荷倍率測定の実付けが無い限り設計図表としての効果が充分發揮出来ない。そこで実験係に於て筆者の一人が実験を進める事とした。即ち「トラックシャシー」の「リヤースプリング」の走行中に於ける最大撓

(1) 葉山関二著「自動車工学」 P.277

みを実測する事に依り負荷倍率を求め、その結果と本論に依つて得られた結果とを比較する事に依つて路面形状の「データ」を得んとするものである。動的な「スプリング」の特性曲線が不明なる爲多少の誤差は予想されるが、第一段階としては之を無視する事とする。実験は今なお続行中であるが現在迄に次の二種類のものを実施した。

(i) 路面上に於ける実験

可成り条件の悪い路面に於て走行試験を実施した。「トラックシャシー」の「リヤースプリング」には補助「バネ」が付いており、解析が困難であるが「データ」は次の如し。

車輛総重量	= 5,190kg
G_2	= 2,367kg
V	= 30km/h = 8.34m/s
F_{max}/G_2	= 1.91
C_2/G_2	= 10.2/m (補助スプリング働かない状態)
	= 30.2/m (補助スプリング働いた状態)

(34) に代入して見るに、

$$h \cdot C_2/G_2 = 0.49$$

- $\therefore h = 0.048m$ (補助スプリング働かず)
- $= 0.016m$ (補助スプリング働く)

実際には之の中間に収まる訳である。而して速度増大に伴う自由落下高の増加を第 7 図に依つて検討してみると、時速 30km/h に於て $h = 0.048m$ のものは 60 km/h に於ては $h = 0.06m$ 程度になる。従つて実験の不充分な現在に於ては

$$h = 0.06 \sim 0.08m$$

として設計図表を利用して差支へ無いものと判断される。

(ii) 模型路面に依る実験

上記実験を基として、今度は高さ 80mm の路面段違ひを模型に依つて作り、その上を色々な車速にて通過して同じく「スプリング」の最大撓みにより負荷を算定し、それに及ぼす速度の効果求めて見た。なほ模型の角には多少の丸みがつてある。「スプリング特性」を簡単に得る爲に今度は「フロントスプリング」に就いて測定を行なつたが、特性が計算と実験とでは多少の差異がある。結果は第 1 表の如くである。

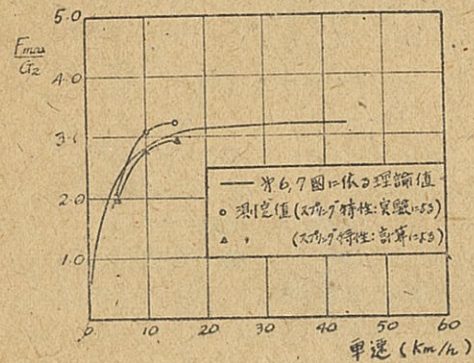
又第 8 図には之等の実験値と (34) 第 7 図とに依る計算値との比較を示す。速度に依る変化の傾向は概ね良く一致している。

速度 km/h	「スプリング」の撓み mm	負 荷 kg		負荷倍数	
		計算* による	実験* による	計算に よる	実験に よる
5	12	950	990	1.96	2.04
10	22	1360	1460	2.80	3.10
15	24.5	1440	1565	2.97	3.23

第 1 表

* 「スプリング」の特性を計算及び実験に依つて求めたものである。

第 8 図



V. 結 語

自動車にかかる負荷場合として最も重要な場合の一つである自由落下場合に就いて強度計算の基礎たらしむべき負荷倍数の設計図表を作製する事を試みた。古典的な式を採用したり、静荷重に依る方法は極めて危険であつて新しい強度計算法の行き方に対する或る根據を與へ得たものと確信する。勿論計算上多くの假定、省略があり満足なものとは思はれないが、得られた大体の結論は次の様なものである。

- (i) 負荷倍数に及ぼす G_1/G_2 , C_2/C_1 の効果は殆んど省略し得る。
- (ii) 負荷倍数に関して次の如き関係式を得た。

$$\frac{F_{max}}{G_2} = 1 + 1.3\sqrt{\lambda \cdot \frac{C_2}{G_2}}$$
- (iii) 速度と負荷倍数との概略の関係が得られた。
- (iv) 実験「データ」の不充分な現状に於ては負荷倍数は通常の車輛に於ては 3.0 として差支えない。

等である。上記計算は自動車を質点系として進めており「ピッチング」の影響が省略されているが、之の効果を考慮する事は今後に残された問題である。なほ又実験を続行する事に依つて更に結果を正確ならしめたい。

(終)